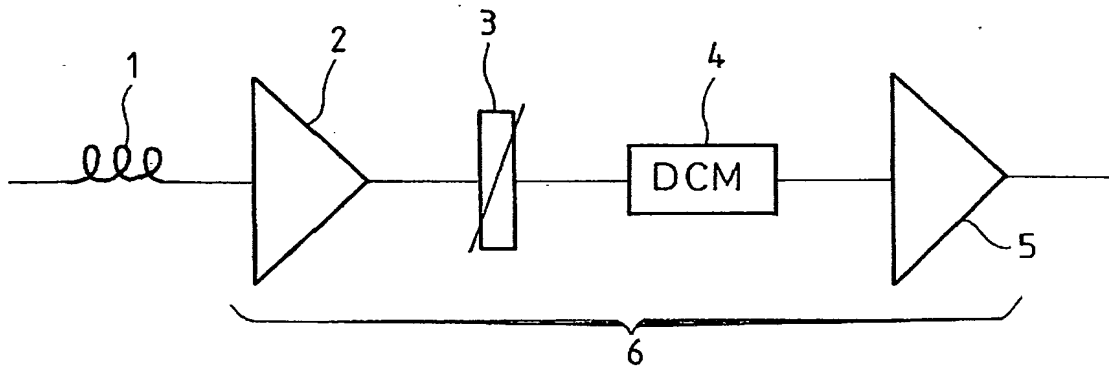
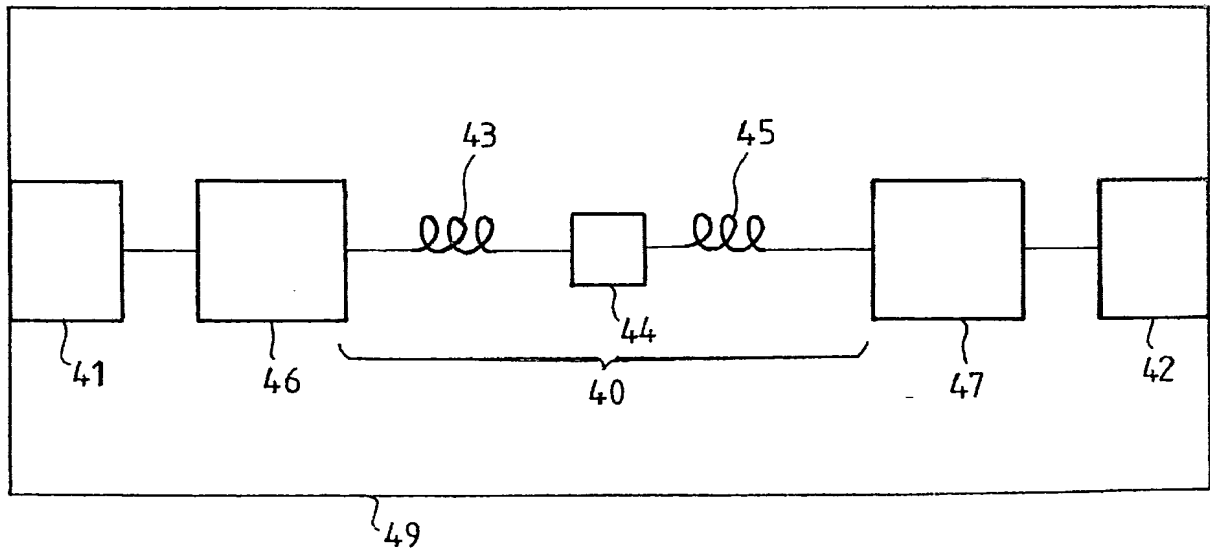


1/8

FIG_1



FIG_2



2/8

FIG_3

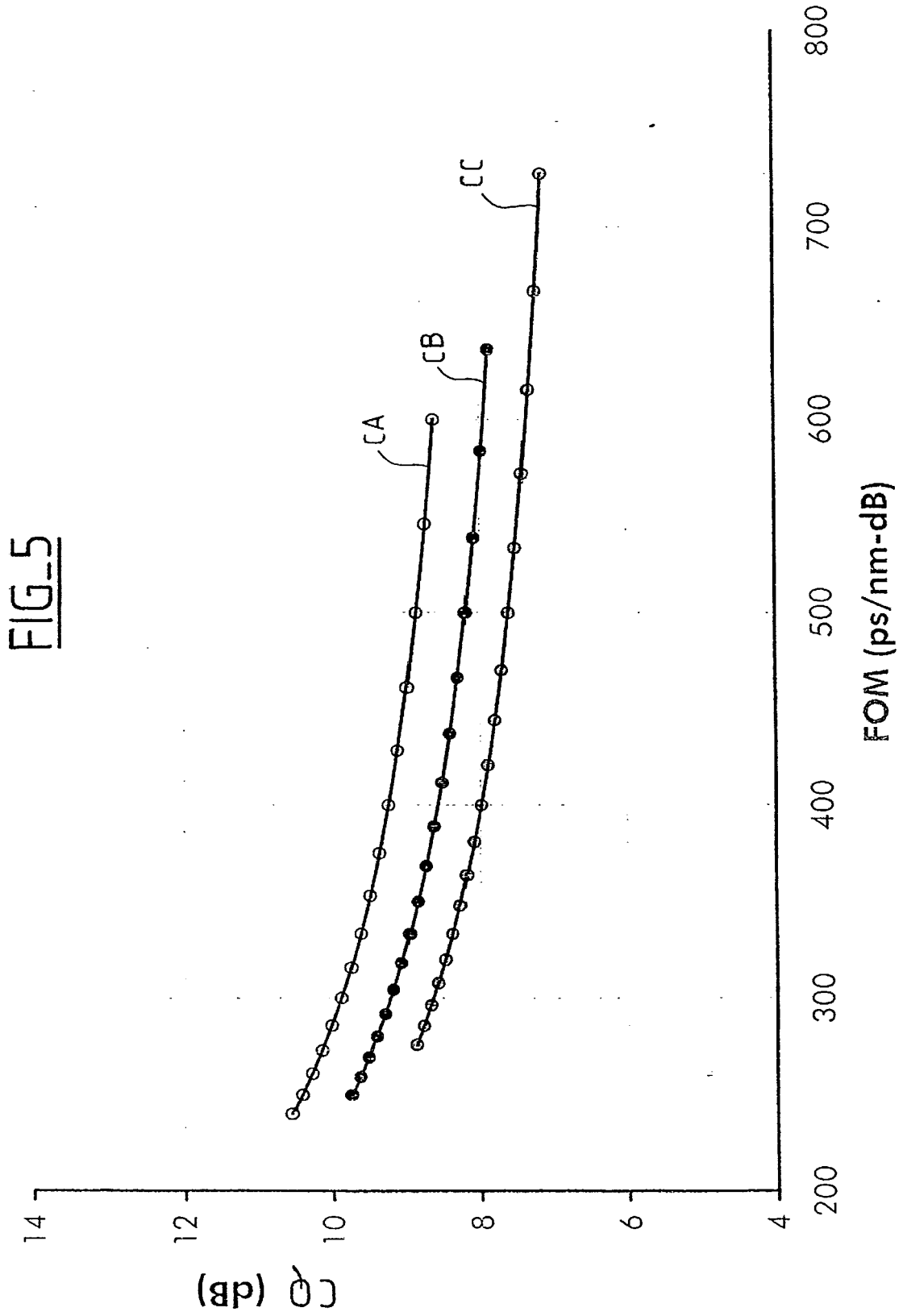
Modules	D_{DCF} (ps/nm)	D_{DCF} (ps/nm-km)	S_{DCF} (ps/nm ² -km)	D_{DCF}/S_{DCF} (nm)	α_{DCF} (dB/km)	FOM_{HOM} (ps/nm-dB)	Γ_{in} (dB)	Γ_{inter} (dB)	Γ_{out} (dB)	IL (dB)	A_{eff} (μm^2)	n_2 ($10^{-20} m^2/W$)	NLC ($10^{-6} km/W-dB$)	CQ (dB)
A1	-1360	-210	-0,70	300	0,70	300	1,00		1,00	6,5	70	3	3,2	11,5
A2	-1360	-300	-1,00	300	0,60	500	1,00		1,00	4,7	85	3	2,7	9,1
A3	-1360	-350	-1,14	307	0,70	500	1,00		1,00	4,7	85	3	2,3	8,4
A4	-1360	-365	-1,19	307	0,75	487	1,00		1,00	4,8	75	3	2,5	8,8
B1 (2 fibres)	-1360	-550	-3,24	170	0,57	965	1,25	1,75	0,50	6,3	99	3	2,4	10,1
B2 (2 fibres)	-1360	-240	-1,71	140	0,50	480	1,00	1,50	0,50	6,8	85	3	3,5	12,2
B3 (2 fibres)	-1360	-450	-2,14	210	0,58	776	1,25	1,75	0,50	6,1	90	3	2,0	9,1

3/8

FIG-4

Modules	D_{DCF} (ps/nm)	D_{DCF} (ps/nm-km)	S_{DCF} (ps/nm ² -km)	D_{DCF}/S_{DCF} (nm)	α_{DCF} (dB/km)	FOM_{HOM} (ps/nm-dB)	Γ_{in} (dB)	Γ_{inter} (dB)	Γ_{out} (dB)	IL (dB)	A_{eff} (μm^2)	n_2 ($10^{-20} m^2/W$)	NLC ($10^{-6} km/W.dB$)	CQ (dB)
A5	-680	-340	-1,90	179	0,60	567	1,25		1,25	3,7	75	3	1,2	4,5
A6	-680	-350	-2,39	146	0,75	467	1,25		1,25	4,0	75	3	1,1	4,5
A7	-680	-310	-2,05	151	0,75	413	1,25		1,25	4,1	70	3	1,4	5,5
B1 (2 fibres)	-680	-450	-7,15	63	0,75	600	1,25	1,35	0,10	4,3	65	3	1,9	7,1
B2 (2 fibres)	-680	-400	-2,86	140	0,55	818	1,25	1,35	0,10	4,1	85	3	1,8	6,7
C1	-680	-170	-1,36	125	0,44	386	0,42		0,42	2,6	65	3	3,2	7,6
C2	-680	-210	-1,68	125	0,45	467	0,42		0,42	2,3	65	3	2,7	6,5
C3	-680	-225	-2,25	100	0,92	245	0,60		0,60	4,0	65	3	2,1	7,1

4/8



5/8

FIG_6

	r1 (μm)	r2 (μm)	r3 (μm)	r4 (μm)	r5 (μm)	10 ³ Dn1	10 ³ Dn2	10 ³ Dn3	10 ³ Dn4	10 ³ Dn5
A1	3.60	6.47	9.80	14.00		30.0	3.3	0.0	0.7	
A2	3.70	8.86	15.79			29.0	2.3	1.3		
A3	3.69	6.22	8.28	12.05	15.06	30.0	-0.9	6.1	-4.0	4.2
A4	3.63	5.15	8.09	11.76	14.70	32	-4.3	4.8	-3.7	4.3
A5	3.98	5.40	8.48	11.67	15.42	28.3	-7.0	4.7	-3.4	3.3
A6	3.60	6.40	16.00			30.0	1.1	0.7		
A7	3.63	8.30	9.53	13.61		30.0	1.4	-1.1	1.4	

6/8

FIG. 7

	Type	S _{eff} μm ²	Dispersion		Pente								λ _{min} nm	Variation maximale de Pente		
			ps/nm-km	ps/nm-km	ps/nm ² -km									%		
					1550nm	1530	1550	1565	1570	1580	1590	1605		1530-1565	1530-1580	1530-1605
A1	4 T	70	-210	-0.68	-0.70	-0.70	-0.70	-0.70	-0.68	-0.66	-0.60	1660	3	3	14	
A2	3 T	85	-300	-1.23	-1.00	-0.71	-0.59	-0.32	-0.01	0.49	1590	7	-	-	-	
A3	5 T	85	-350	-1.21	-1.14	-1.14	-1.15	-1.17	-1.16	-0.95	1625	6	6	23	-	
A4	5 T	75	-365	-1.30	-1.19	-1.17	-1.18	-1.22	-1.27	-1.26	1635	11	11	11	-	
A5	5 T	75	-340	-1.86	-1.90	-1.93	-1.93	-1.91	-1.82	-1.42	1625	4	4	26	-	
A6	3 T	75	-350	-2.20	-2.39	-2.38	-2.32	-2.09	-1.72	-0.77	1615	8	13	-	-	
A7	4 T	70	-310	-1.85	-2.05	-2.12	-2.12	-2.05	-1.87	-1.34	1630	13	13	37	-	

7/8

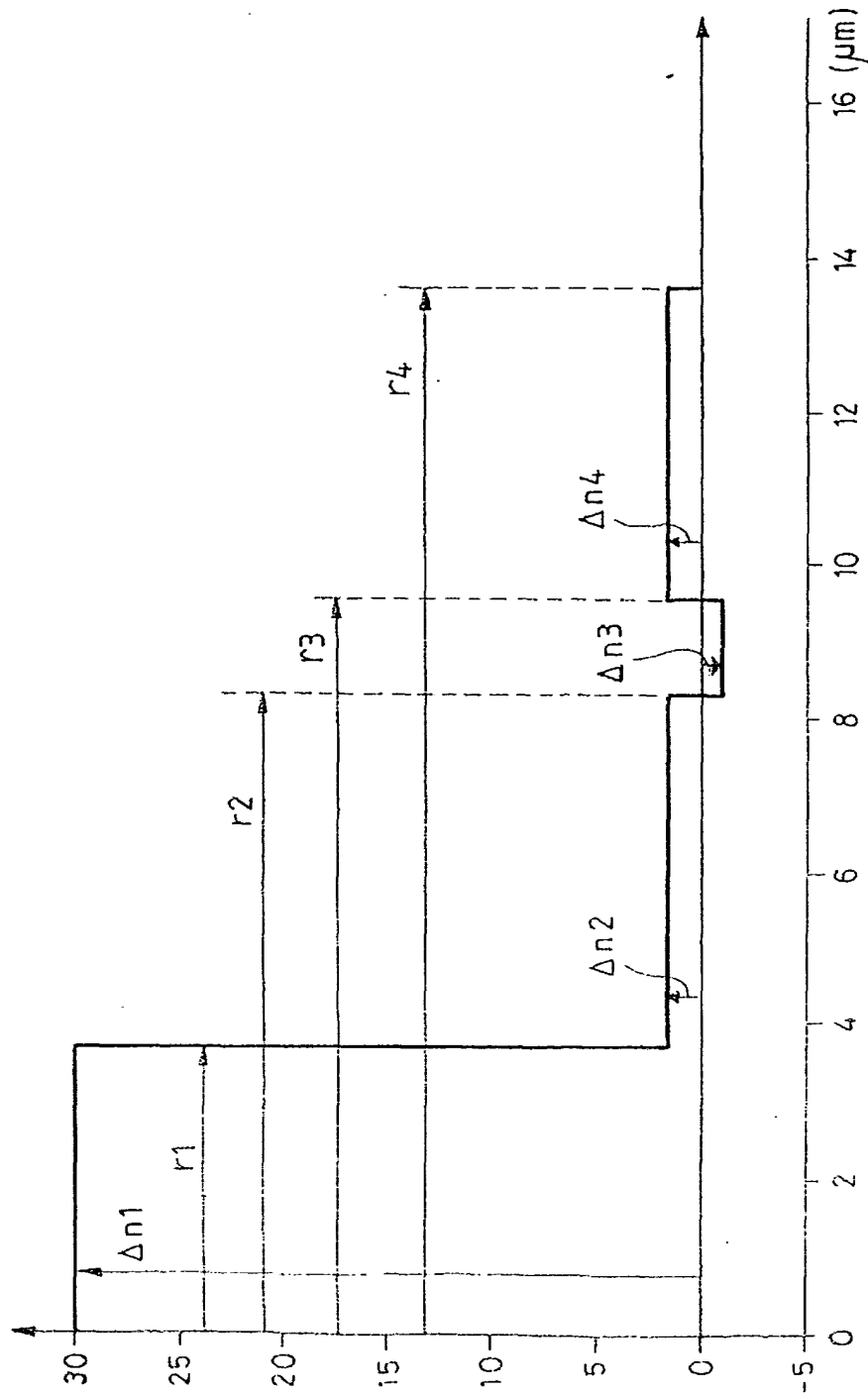


FIG-8

8/8

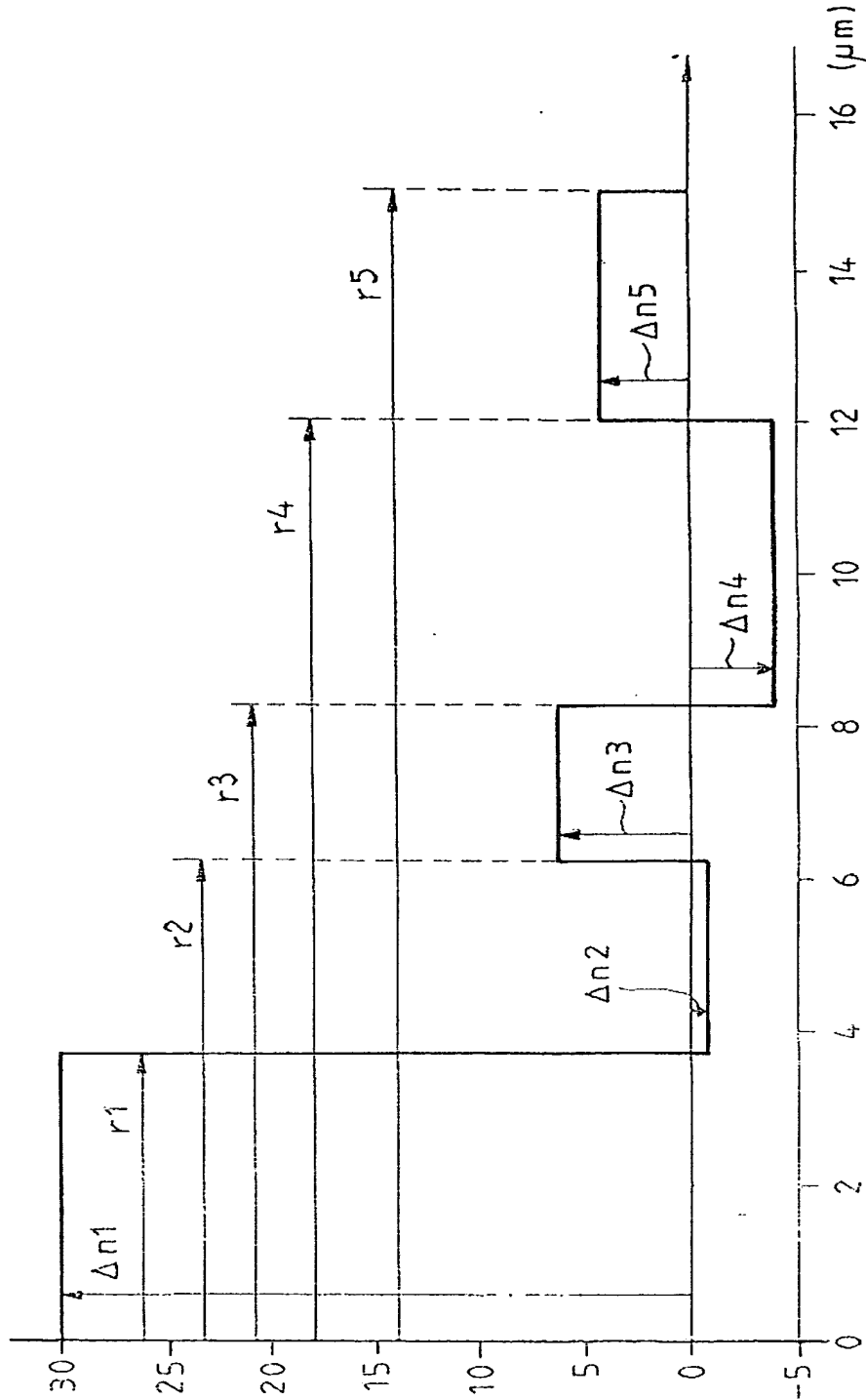


FIG-9